

ТЕПЛОЕМКОСТЬ $\text{Ce}_x\text{La}_{1-x}\text{B}_6$ В ПРЕДЕЛЕ МАЛОЙ КОНЦЕНТРАЦИИ ЦЕРИЯ $x \leq 0.03$

M. A. Анисимов^{a}, B. B. Глушков^a, A. B. Богач^a, С. В. Демишиев^a, Н. А. Самарин^a,
С. Ю. Гаврилкин^b, К. В. Мицен^b, Н. Ю. Шицевалова^c, А. В. Левченко^c,
В. Б. Филиппов^c, С. Габани^{d**}, К. Флахбарт^{d**}, Н. Е. Случанко^a*

^a Институт общей физики им. А. М. Прохорова Российской академии наук
119991, Москва, Россия

^b Физический институт им. П. Н. Лебедева Российской академии наук
119991, Москва, Россия

^c Институт проблем материаловедения им. И. Н. Францевича Национальной академии наук Украины
03680, Киев, Украина

^d Centre of Low Temperature Physics, IEP SAS
SK-04001, Košice, Slovakia

Статья написана по материалам доклада
на 36-м Совещании по физике низких температур
(Санкт-Петербург, 2–6 июля 2012 г.)

На высококачественных монокристаллах $\text{Ce}_x\text{La}_{1-x}\text{B}_6$ ($x = 0, 0.01, 0.03$) выполнено исследование теплоемкости в диапазоне температур 0.4–300 К. Для оценки влияния вакансий бора изучены образцы LaB_6 с различным изотопическим составом (^{10}B , ^{11}B , ^{nat}B). Анализ экспериментальных данных позволил корректно учесть электронную компоненту в условиях перенормировки электронной плотности состояний при $T < 8$ К, вклад квазилокальной колебательной моды редкоземельного (РЗ) иона с температурой Эйнштейна $\Theta_E \approx 152$ К, дебаевский вклад от жесткого каркаса из атомов бора с температурой Дебая $\Theta_D \approx 1160$ К и низкотемпературный вклад Шоттки, связанный с присутствием 1.5–2.3 % вакансий бора в редкоземельных гексаборидах. Показано, что наблюдаемые низкотемпературные аномалии теплоемкости могут быть интерпретированы в терминах формирования двухуровневых систем с энергией $\Delta E = 92$ –98 К, обусловленных смещением РЗ-ионов из центросимметричного положения. Для систем с магнитной примесью церия предложен альтернативный кондовскому сценарию образования тяжелых фермионов.

DOI: 10.7868/S0044451013050078

1. ВВЕДЕНИЕ

Среди редкоземельных (РЗ) гексаборидов RB_6 ($\text{R} = \text{La-Nd, Sm-Ho, Yb}$) особое место занимает гексаборид лантана LaB_6 . Благодаря малой работе выхода ($A \approx 2.66$ эВ) в сочетании с высокой температурой плавления ($T_L = 2483^\circ\text{C}$) данное соединение нашло широкое практическое применение в качестве одного из наиболее эффективных термоэлектро-

тронных эммитеров в катодных узлах приборов различного назначения [1]. Вместе с тем LaB_6 оказывается важным объектом фундаментальных исследований и используется в качестве реперной немагнитной системы для оценки параметров магнитного вклада других соединений RB_6 и твердых растворов замещения $\text{R}_x\text{La}_{1-x}\text{B}_6$.

Как и другие гексабориды, LaB_6 кристаллизуется в простую ОЦК-структуру типа CsCl (пространственная группа $Pm\bar{3}m-O_h^1$), в которой РЗ-ионы помещаются в вершинах куба, а октаэдры из атомов бора расположены в центре (рис. 1a). Таким образом, ячейка RB_6 содержит 7 атомов. Вследствие ма-

*E-mail: anisimov.m.a@gmail.com

**S. Gabani, K. Flachbart

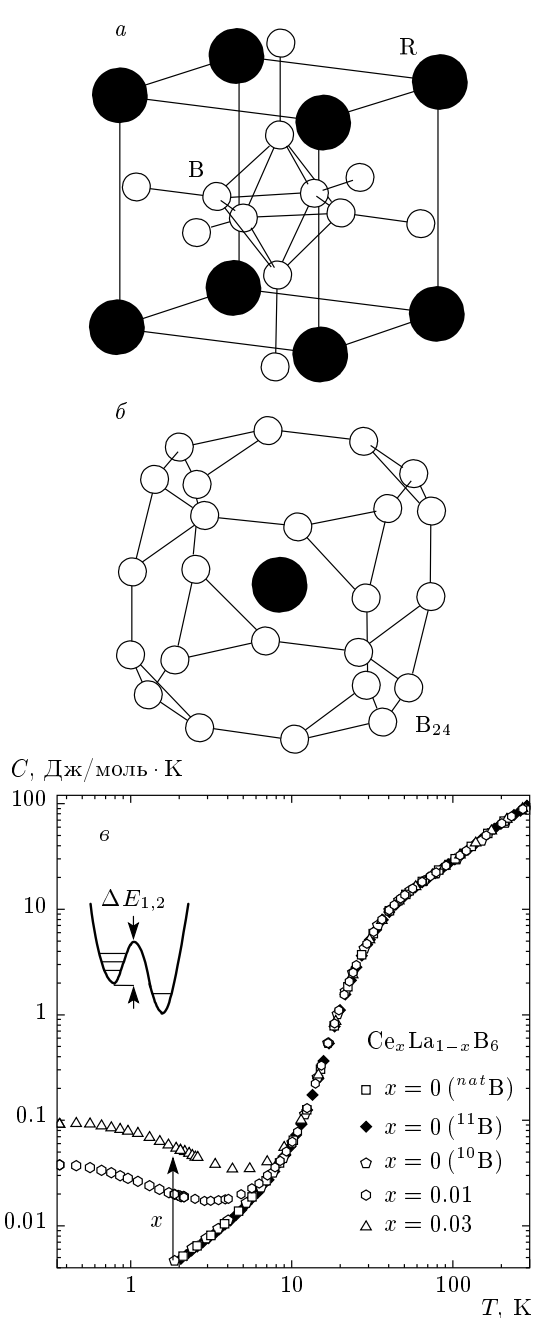


Рис. 1. а) Кристаллическая структура RB_6 . б) Федоровский кубооктаэдр B_{24} с редкоземельным ионом. Параметры кристаллической структуры LaB_6 представлены в табл. 1. в) Температурные зависимости теплоемкости для LaB_6 (^{10}B , ^{11}B , $^{\text{nat}}\text{B}$) и $\text{Ce}_x\text{La}_{1-x}\text{B}_6$ ($x = 0.01, 0.03$). На вставке схематично показан двухъямный потенциал

лой величины радиуса иона R^{3+} (см. табл. 1) по сравнению с размером полостей в федоровских кубооктаэдрах B_{24} (рис. 1б), РЗ-ионы оказываются слабо связанными с жестким каркасом из атомов бора, и в результате колебания РЗ-иона носят квазинезависимый характер (эйнштейновский осциллятор). Напротив, атомы бора связаны друг с другом жесткими ковалентными связями, формируя дебаевскую подрешетку. По этой причине гексабориды являются удобными модельными объектами для изучения термодинамических свойств металлов и полупроводников [3–7].

В данной работе исследуется теплоемкость немагнитного соединения LaB_6 и классической системы $\text{Ce}_x\text{La}_{1-x}\text{B}_6$ с тяжелыми фермионами. К настоящему времени известно значительное число статей, посвященных изучению теплоемкости $\text{Ce}_x\text{La}_{1-x}\text{B}_6$, однако авторы большинства из них ограничиваются лишь детальным обсуждением данных для $x \geq 0.5$ (см., например, работу [8]). Как правило, мотивация таких исследований определяется возможностью построения концентрационной фазовой $x-T$ -диаграммы для более детального изучения природы основного состояния гексаборида церия. На наш взгляд, отдельного внимания заслуживает область малых концентраций магнитных центров ($x \leq 0.03$) в соединениях $\text{Ce}_x\text{La}_{1-x}\text{B}_6$, свойства которых во многом определяются реперным соединением LaB_6 . При этом исследование твердых растворов замещения $\text{Ce}_x\text{La}_{1-x}\text{B}_6$ в пределе $x \leq 0.03$ представляет интерес с точки зрения изучения особенностей формирования тяжелофермионных состояний в режиме слабовзаимодействующих магнитных примесей.

2. МЕТОДИКА ЭКСПЕРИМЕНТА

В работе выполнено исследование теплоемкости систем $\text{Ce}_x\text{La}_{1-x}\text{B}_6$ при постоянном давлении в широком диапазоне температур 0.4–300 К на установках PPMS-9 (Quantum Design США). Изучаемые монокристаллы высокого качества $\text{Ce}_x\text{La}_{1-x}\text{B}_6$ ($0 \leq x \leq 0.03$) были выращены методом вертикального бестигельного индукционного зонного плавления в атмосфере аргона на специализированной установке, описанной в [9]. Дополнительно для оценки влияния вакансий бора в работе исследовались образцы La^NB_6 с различным изотопическим составом по бору, включая изотопически чистые ($N = 10, 11$) и ($N = \text{nat}$) с естественным содержанием бора (81.1 % ^{11}B и 18.9 % ^{10}B). Контроль качества об-

Таблица 1. Параметры кристаллической структуры LaB_6 по данным работы [2]

$a(\text{LaB}_6)$	$r(\text{La}^{3+})$	$r(\text{La-B}_{24})$	$r(\text{B}-4\text{B})$	$r_1(\text{B}-1\text{B})$	$r_2(\text{B}-1\text{B})$
4.156 Å	1.17 Å	3.054 Å	1.766 Å	1.659 Å	2.498 Å

разцов проводился с использованием электронной микроскопии, а также методами микрозвонкового и рентгеноструктурного анализа.

3. ЭКСПЕРИМЕНТАЛЬНЫЕ РЕЗУЛЬТАТЫ И ИХ ОБСУЖДЕНИЕ

На рис. 1 σ приведены температурные зависимости удельной теплоемкости La^NB_6 ($N = 10, 11, nat$) и твердых растворов замещения $\text{Ce}_x\text{La}_{1-x}\text{B}_6$ ($x = 0.01, 0.03$). Полученные данные совпадают между собой и согласуются с результатами предыдущих исследований LaB_6 [4, 7] в области промежуточных температур $T > 40$ К. Для составов с магнитной примесью с понижением температуры ниже 8 К на кривых $C_P(T)$ регистрируется участок роста с характерным широким максимумом в окрестности 0.4–0.5 К (рис. 1 σ), который достаточно хорошо совпадает с низкотемпературной особенностью зависимости $C(T)$, найденной в работах [10, 11]. Обнаружено, что значение теплоемкости в максимуме увеличивается пропорционально росту концентрации церия.

При анализе вкладов в теплоемкость $\text{Ce}_x\text{La}_{1-x}\text{B}_6$ нами использовался подход, аналогичный применявшемуся ранее [5, 7, 12]. Для оценки электронного вклада $C_{el} = \gamma T$ в LaB_6 в нашей работе применялось значение $\gamma_0 \approx 2.4$ мДж/моль·К², близкое к результатам, полученным авторами работ [7, 10, 13]. Напротив, в системах с магнитной примесью при низких температурах доминирующим является магнитный вклад (рис. 1 σ), вследствие чего, принимая во внимание перенормировку плотности электронных состояний на уровне Ферми, необходимо учитывать зависимость коэффициента Зоммерфельда γ от температуры. Отметим, что указанное изменение $\gamma(T)$ отвечает интервалу $T < 8$ К, в котором обычный анализ дает сильно завышенные значения (например, $\gamma \approx 15.5$ Дж/моль Се·К² для состава с $x(\text{Ce}) = 0.03$ [11]). В качестве другого примера завышенных значений электронного вклада укажем на результаты работ [7, 14], посвященных исследованию теплоемкости в системах $\text{Nd}_{1-x}\text{Ca}_x\text{B}_6$ ($x < 0.4$) и $\text{La}_{1-x}\text{Nd}_x\text{B}_6$ ($x \leq 0.06$).

В частности, полученное авторами работ [7, 14] для антиферромагнетика NdB_6 большое значение $\gamma \approx 90$ мДж/моль·К² должно соответствовать нехарактерной для NdB_6 эффективной массе $50m_0$ носителей заряда (m_0 — масса свободного электрона). Для сравнения, в экспериментах по изучению эффекта де Гааза–Ван Альфена в NdB_6 была найдена величина, не превышающая $1.5m_0$ (см. обсуждение в [7] и работу [15]). Возвращаясь к описанию электронного вклада в системах $\text{Ce}_x\text{La}_{1-x}\text{B}_6$, заметим, что при $T > 10$ К исходные кривые теплоемкости составов с магнитной примесью в пределах экспериментальной точности совпадают с данными для LaB_6 (рис. 1 σ). В результате естественно предположить, что при указанных температурах значение $\gamma_0 \approx 2.4$ мДж/моль·К² является общим постоянным значением для всех исследуемых соединений $\text{Ce}_x\text{La}_{1-x}\text{B}_6$.

Анализ фононной составляющей $C_{ph} = C - \gamma_0 T$ теплоемкости LaB_6 представлен на рис. 2 a . Выполненная обработка кривой C_{ph}/T^3 позволила корректно разделить дебаевский вклад C_D от жесткого каркаса из атомов бора (для RB_6 число атомов бора $r = 6$),

$$C_D = 9rR \left(\frac{T}{\Theta_D} \right)^3 \int_0^{\Theta_D/T} e^x x^4 (e^x - 1)^{-2} dx, \quad (1)$$

и эйнштейновский вклад C_E от квазилокальной колебательной моды РЗ-иона,

$$C_E = 3R \left(\frac{\Theta_E}{T} \right)^2 \exp \left(\frac{\Theta_E}{T} \right) \times \left[\exp \left(\frac{\Theta_E}{T} \right) - 1 \right]^{-2}, \quad (2)$$

где R — универсальная газовая постоянная.

Оцененные из соотношений (1), (2) температуры Эйнштейна Θ_E и Дебая Θ_D представлены для LaB_6 и $\text{Ce}_x\text{La}_{1-x}\text{B}_6$ (рис. 2 b) соответственно в табл. 2 и 3. Полученные значения температуры Эйнштейна $\Theta_E \approx 150$ –152.5 К согласуются с данными работ [4, 7, 14] и с результатами исследований динамики решетки (см. обзор [16]). Напротив, к настоящему времени для LaB_6 зарегистрири-

Таблица 2. Параметры, полученные при анализе вкладов в теплоемкость LaB₆ с помощью формул (1)–(3)

	γ , мДж/моль·К ²	Θ_E , К	Θ_D , К	N_1	ΔE_1 , К	N_2	ΔE_2 , К
La ^{nat} B ₆	2.4	152.5	1160	$9.2 \cdot 10^{-4}$	29	0.06	92
La ¹⁰ B ₆	2.43	150.0	1160	$4.9 \cdot 10^{-4}$	24	0.06	92
La ¹¹ B ₆	2.36	152.5	1160	$9.4 \cdot 10^{-4}$	29	0.06	92

Таблица 3. Параметры, полученные при анализе вкладов в теплоемкость Ce_xLa_{1-x}B₆

Ce _x La _{1-x} B ₆	Θ_E , К	Θ_D , К	N_M	ΔE_M , К	N_1	ΔE_1 , К	N_2	ΔE_2 , К
$x = 0.01$	152.5	1160	0.01	1	$1.5 \cdot 10^{-3}$	29	0.09	98
$x = 0.03$	152.0	1160	0.03	1	$2.6 \cdot 10^{-3}$	29	0.07	94

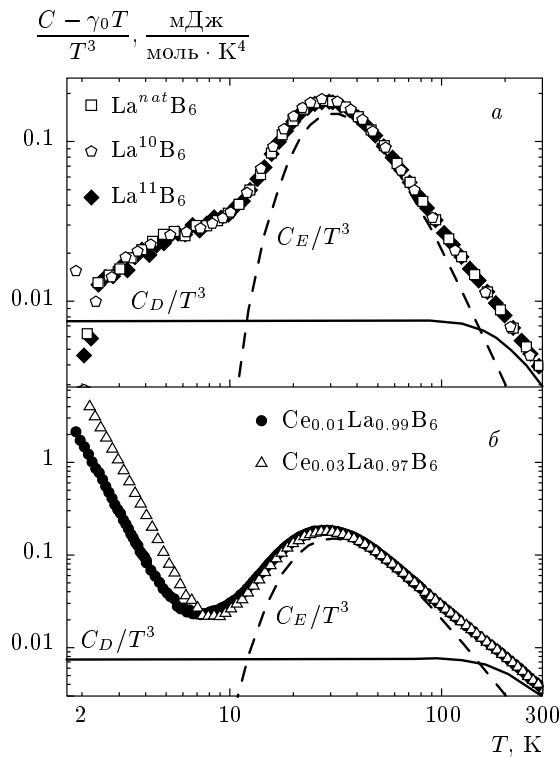


Рис. 2. Разделение вклада $(C - \gamma_0 T)/T^3$ в теплоемкость LaB₆ (а) и Ce_xLa_{1-x}B₆ (б) на дебаевскую C_D/T^3 и эйнштейновскую C_E/T^3 составляющие. Результаты анализа представлены в табл. 2 и табл. 3

рован значительный разброс значений температуры Дебая $\Theta_D \approx 404\text{--}1160$ К. Величина $\Theta_D \approx \approx 1160$ К, на наш взгляд, оказывается более предпочтительной, поскольку она, с одной стороны, сов-

падает с результатами расчетов теплоемкости LaB₆ [5, 7], а, с другой стороны, согласуется с данными $\Theta_D \approx 1160\text{--}1190$ К, полученными в [12, 17] для немагнитного аналога гексаборида лантана — додекаборида лютесия LuB₁₂. Кроме того, значение $\Theta_D \approx 1160$ К оказывается сопоставимым с температурой $\Theta_D \approx 1250\text{--}1370$ К, определенной для β -бора методом рентгеновской дифракции [17].

Остаточный член C_{res}/T^3 , полученный при вычитании из кривой C_{ph}/T^3 суммы вкладов C_D/T^3 и C_E/T^3 , описывает низкотемпературную дефектную моду в LaB₆, вызванную влиянием вакансий бора [18]. Действительно, результаты рентгеновских и нейтронных исследований RB₆ указывают на наличие примерно 1–9 % вакансий в подрешетке бора в зависимости от метода выращивания монокристалла [2, 19, 20]. Наличие вакансий бора в сочетании со слабой связью РЗ-иона с жестким ковалентным каркасом B₆ (см. табл. 1) приводит к смещению части ионов R³⁺ из центросимметричного положения в полостях кубооктаэдров B₂₄ (см. рис. 1б). Возникающий вследствие этого беспорядок в расположении РЗ-ионов усиливается с понижением температуры, причем в зависимости от концентрации собственных дефектов в RB₆ и типа примесей следует ожидать появления нескольких неэквивалентных устойчивых положений для иона R³⁺. Воспользовавшись аналогией с аморфными веществами и стеклами [21], следует предположить в LaB₆ формирование типичных для соединений с беспорядком двухуровневых систем (ДУС). Образование ДУС эквивалентно формированию двухъярусного потенциала с барьером ΔE_i (см. вставку на рис. 1б). Для оценки

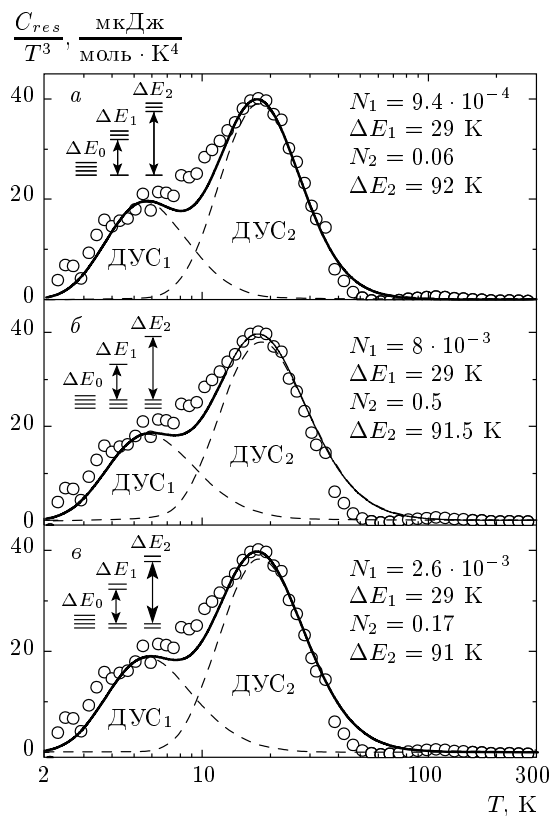


Рис. 3. Анализ остаточного вклада C_{res}/T^3 для соединения La^{11}B_6 с помощью соотношения Шоттки для различных схем уровней ДУС: *a* — синглет–триплет; *б* — триплет–синглет, *в* — дублет–дублет (две последние схемы дают завышенные значения концентрации ДУС₂)

характеристик ДУС нами выполнен анализ остаточного вклада с помощью соотношения Шоттки

$$\frac{C_i^{Sh}}{T^3} = \frac{N_i g_{0i} g_{1i}}{T^3} \left(\frac{\Delta E_i}{T} \right)^2 \exp \left(\frac{\Delta E_i}{T} \right) \times \left[g_{0i} \exp \left(\frac{\Delta E_i}{T} \right) + g_{1i} \right]^{-2}, \quad (3)$$

где g_i — кратность вырождения, N_i — концентрация ДУС. Полученные значения C_{res}/T^3 для LaB_6 аппроксимировались соотношением (3) с двумя типами ДУС_{*i*} ($i = 1, 2$), состоящих из синглетных и триплетных состояний (рис. 3*a*, табл. 2). Обнаружено, что ДУС₂ отвечает величине барьера $\Delta E_2 = 92$ К, которая практически не зависит от изотопного состава по бору. Полученное значение $N_2 \approx 0.06$ для приведенной концентрации ячеек с двухъядерным потенциалом данного типа, по-видимому, следует связать с вакансиями бора в структуре RB_6 . При этом каждая вакансия приводит к смещению

из центросимметричного положения РЗ-ионов в четырех соседних кубооктаэдрах B_{24} , поэтому реальная концентрация вакансий определяется с учетом нормировки на число соседних ячеек $n_{vac} = N_2/4$. Таким образом, концентрации ДУС₂ соответствует величина $n_{vac} = 0.015$, которая свидетельствует о сравнительно небольшом числе вакансий в исследуемых монокристаллах LaB_6 . Напротив, представляется естественным связать наблюдаемые нами различия в данных для ДУС₁ ($\Delta E_1 \approx 24$ –29 К, $N_1 \approx (4.9$ –9.4) · 10⁻⁴) с вкладом дивакансий, количества которых зависит от особенностей получения монокристаллов La^NB_6 . Оценка концентрации дивакансий при условии их случайного расположения приводит к значению

$$n_d = n_{vac} [1 - (1 - n_{vac})^z] \approx 9 \cdot 10^{-4}$$

($z = 4$ — координационное число), которое хорошо согласуется с полученной концентрацией ДУС в монокристаллах LaB_6 .

На рис. 3 также представлены результаты анализа кривой C_{res}/T^3 для La^{11}B_6 с помощью соотношения Шоттки (3) для различных схем уровней в двухъядерном потенциале, включая триплет–синглет (рис. 3*b*) и дублет–дублет (рис. 3*c*). Установлено, что указанные схемы уровней аппроксимируют экспериментальные данные на рис. 3 с неправдоподобно большими значениями концентрации ДУС₂: $N_2 \approx 0.5$ (рис. 3*b*) и $N_2 \approx 0.17$ (рис. 3*c*), что не находит объяснения при условии высокого качества изучаемых монокристаллов.

Таким образом, в работе показано, что схема синглет–триплет ($g_{0i} = 1$, $g_{1i} = 3$) описывает поведение низкотемпературной теплоемкости гексаборида лантана. Подчеркнем, что выполненный нами микронализ образцов La^NB_6 позволяет оценить концентрацию примесей различной природы значением не выше 100 ppm, что предоставляет дополнительные аргументы в пользу предложенного механизма формирования ДУС в RB_6 .

Заметим, что наличие двухуровневых систем было экспериментально обнаружено в другом классе соединений на основе каркасных структур из нанокластеров бора — в РЗ-додекаборидах LuB_{12} [12] и ZrB_{12} [22]. При этом в работе [12] помимо теплоемкости также исследовались спектры комбинационного рассеяния (КР) света на монокристаллах Lu^NB_{12} с различным изотопическим составом ($N = 10, 11, nat$). На полученных КР-спектрах LuB_{12} наблюдается бозонный пик при азотных температурах в низкочастотной области, что является характеристикой систем с сильным структурным беспорядком.

Таблица 4. Параметры анализа остаточного вклада C_{res0} соединений $\text{Ce}_x\text{La}_{1-x}\text{B}_6$ ($x = 0.01, 0.03$) с помощью соотношения (3) для ДУС_{1,2} с различными схемами уровней (см. текст).

$\text{Ce}_x\text{La}_{1-x}\text{B}_6$	N_1	$\Delta E_1, \text{К}$	N_2	$\Delta E_2, \text{К}$	Схема уровней для соотношения (3)
$x = 0.01$	$1.5 \cdot 10^{-3}$	29	0.09	98	$g_{0i} = 1, g_{1i} = 3$
	$4.3 \cdot 10^{-3}$	29	0.22	93	$g_{0i} = 2, g_{1i} = 2$
	0.012	28	0.64	93	$g_{0i} = 3, g_{1i} = 1$
$x = 0.03$	$2.6 \cdot 10^{-3}$	29	0.07	94	$g_{0i} = 1, g_{1i} = 3$
	$6.4 \cdot 10^{-3}$	26.5	0.17	89	$g_{0i} = 2, g_{1i} = 2$
	0.017	25.5	0.51	89	$g_{0i} = 3, g_{1i} = 1$

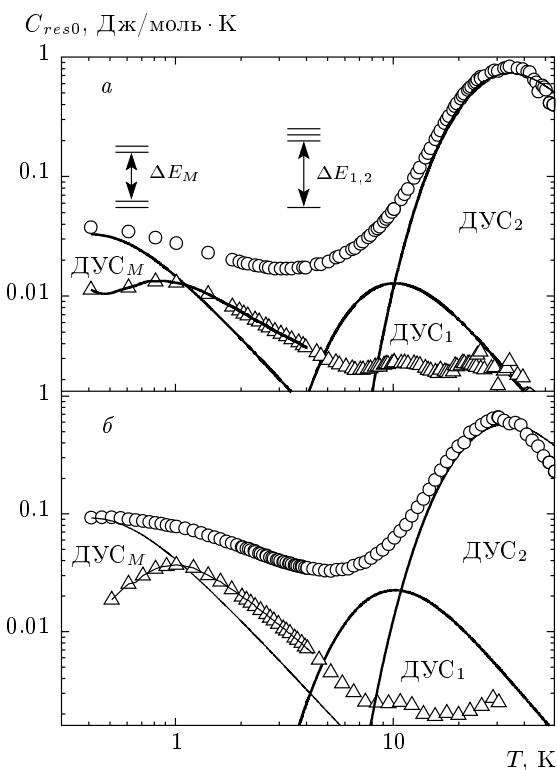


Рис. 4. Анализ остаточного вклада C_{res0} для твердых растворов замещения $\text{Ce}_{0.01}\text{La}_{0.99}\text{B}_6$ (а) и $\text{Ce}_{0.03}\text{La}_{0.97}\text{B}_6$ (б). Сплошные линии соответствуют аппроксимации соотношением Шоттки (3) в схемах, приведенных на верхнем рисунке. Результаты анализа представлены в табл. 3. Треугольниками показана температурная зависимость коэффициента Зоммерфельда $\gamma(T)$

ком. Для объяснения свойств RB_{12} авторами работы [12] была предложена модель каркасного стекла с фазовым переходом при $T^* = 50\text{--}70$ К.

Переходя к анализу остаточного вклада в теплоемкость $\text{Ce}_x\text{La}_{1-x}\text{B}_6$, подчеркнем, что в системах

с магнитной примесью аналитический вид зависимости C_{res0}/T^3 ($C_{res0} = C - C_D - C_E$) определяется аналогично C_{res}/T^3 для LaB_6 , однако вследствие обсуждавшейся выше перенормировки плотности электронных состояний, проводится без вычитания электронного вклада $\gamma_0 T$. Анализ кривых $C_{res0}(T)$ для составов с $x = 0.01$ и $x = 0.03$ представлен на рис. 4. При аппроксимации остаточного вклада суммой электронной компоненты и компоненты Шоттки в диапазоне температур выше 2–3 К нами были получены результаты, аналогичные случаю LaB_6 . Значения параметров, найденные для ДУС_{1,2} в схеме уровней синглет–триплет, представлены в табл. 3. Как и в случае LaB_6 , наименьшей концентрации ДУС_{1,2} соответствует схема уровней синглет–триплет (табл. 4). При этом высота барьера в двухъядром потенциале ДУС₁ и ДУС₂ практически совпадает с результатом для LaB_6 (см. рис. 3а). Наиболее интересной представляется особенность на кривых $C_{res0}(T)$ в виде широкого максимума, вызванного ростом вклада магнитной примеси с концентрацией N_M в ДУС_M при гелиевых температурах. Аппроксимация указанного максимума в рамках соотношения (3) также представлена на рис. 4 и в табл. 3. Выполненный анализ показал, что низкотемпературный магнитный вклад может быть описан только в схеме уровней из двух дублетов с энергией $\Delta E_M \approx 1$ К, совпадающей с известным значением температуры спиновых флуктуаций в CeB_6 и в твердых растворах $\text{Ce}_x\text{La}_{1-x}\text{B}_6$. Критерием достоверности расчета ДУС_M является тот факт, что его амплитуда определяется номинальной концентрацией магнитной примеси в образцах $\text{Ce}_x\text{La}_{1-x}\text{B}_6$ (см. табл. 3), причем оказывается невозможным описать широкий магнитный максимум выражением (3) с энергией $\Delta E_M \sim 1$ К в рамках двух других схем уровней.

Таким образом, в результате последовательного вычитания из кривой $C_{res0}(T)$ суммы шоттки-вкладов $DUC_{1,2,M}$ представляется возможным оценить перенормировку значений $\gamma(T)$ (см. рис. 4). Как видно из данных рис. 4, низкотемпературный рост функции $\gamma(T)$ происходит лишь при $T < 8$ К. Заметим, что полученное для $\text{Ce}_x\text{La}_{1-x}\text{B}_6$ квартетное магнитное состояние DUC_M с расщеплением $\Delta E \sim 1$ К отличается от обычного квартетного основного состояния Γ_8 в мультиплете $^2F_{5/2}$ иона Ce^{3+} [23]. Выполненный нами детальный анализ остаточного вклада в теплоемкость для систем с магнитной примесью Ce с $x = 0.01$ и 0.03 позволяет, таким образом, предположить альтернативный кондовскому механизм формирования тяжелых фермионов в $\text{Ce}_x\text{La}_{1-x}\text{B}_6$. При этом на основе полученных результатов можно сделать вывод о том, что в исследуемых системах $\text{Ce}_x\text{La}_{1-x}\text{B}_6$ появление тяжелых фермионов оказывается непосредственно связанным с формированием двухъямного потенциала с величиной энергетического барьера $\Delta E_M \sim 1$ К. Туннелирование между двумя дублетными состояниями в двухъямном потенциале вызывает быстрые спиновые флуктуации в ячейках, сформированных кубооктаэдрами B_{24} с ионами Ce^{3+} . Примечательно, что спин-поляронный режим формирования тяжелых фермионов в CeB_6 был предложен ранее в работе [24]. Из транспортных данных авторами работы [24] были выполнены расчеты, позволившие оценить величину эффективной массы $m \approx 400m_0$ для многочастичных состояний в CeB_6 непосредственно перед переходом в антиферромагнитную фазу.

4. ЗАКЛЮЧЕНИЕ

В работе проведены исследования теплоемкости соединений La^NB_6 ($N = 10, 11, nat$) и систем с магнитной примесью $\text{Ce}_x\text{La}_{1-x}\text{B}_6$ в режиме малых концентраций $x = 0.01, 0.03$ в диапазоне температур 0.4–300 К. Полученные результаты позволили обнаружить наличие низкотемпературной дефектной моды, вызванной смещением РЗ-ионов из центротросимметричного положения в полостях кубооктаэдров B_{24} в жестком ковалентном каркасе атомов бора. Показано, что наблюдаемые низкотемпературные аномалии теплоемкости могут быть интерпретированы в терминах формирования двухуровневых систем с энергией $\Delta E = 92\text{--}98$ К, обусловленных присутствием 1.5–2.3 % вакансий в подрешетке бора. Для систем с магнитной примесью получена оценка перенормировки электронной плотности $\gamma(T)$ на

уровне Ферми при низких температурах. Предложен альтернативный кондовскому спин-поляронный сценарий формирования тяжелых фермионов в $\text{Ce}_x\text{La}_{1-x}\text{B}_6$, связанный с туннелированием между состояниями в двухъямном потенциале.

Авторы признательны Г. Е. Гречневу, А. В. Кузнецовой и И. Станкевич (J. Stankiewicz) за полезные обсуждения. Работа выполнена при финансовой поддержке Программы ОФН РАН «Сильнокоррелированные электроны в металлах, полупроводниках и магнитных материалах», Словацкого Агентства VEGA (проект 2/0106/13), Словацкого Агентства исследований и разработок (APVV0132-11) и Центра мастерства Словацкой академии наук (CFNT MVEP). А. В. Богач и М. А. Анисимов признательны Институту экспериментальной физики Словацкой академии наук за поддержку краткосрочных научно-исследовательских визитов; К. В. Мицен благодарит Программу «Кадры» Министерства образования и науки РФ.

ЛИТЕРАТУРА

1. M. Bakr, R. Kinjo, Y. W. Choi et al., Phys. Rev. STAB **14**, 060708 (2011).
2. M. M. Korsukova, T. Lundstrom, V. N. Gurin et al., Z. Kristallogr. **168**, 299 (1984).
3. H. G. Smith, G. Dolling, and T. Goto, Sol. St. Comm. **53**, 15 (1985).
4. Y. Peyson, C. Ayache, B. Salce et al., J. Magn. Magn. Mater. **47**–**48**, 63 (1985).
5. D. Mandrus, B. C. Sales, and R. Jin, Phys. Rev. B **64**, 012302 (2001).
6. T. Gürel and R. Eryigit, Phys. Rev. B **82**, 104302 (2010).
7. J. Stankiewicz, M. Evangelisti, and Z. Fisk, Phys. Rev. B **83**, 113108 (2011).
8. S. Nakamura, T. Goto, O. Suzuki et al., Phys. Rev. B **61**, 15203 (2000).
9. Y. Paderno, V. Filippov, and N. Shitsevalova, in *Proc. 10th Int. Symp. Boron, Borides, and Related Compounds*, AIP, New York (1991), p. 460.
10. H. Grühl and K. Winzer, Sol. St. Comm. **57**, 67 (1986).
11. N. Sato, M. Takahashi, T. Kashima et al., J. Magn. Magn. Mater. **52**, 250 (1985).
12. Н. Е. Случанко, А. Н. Азаревич, А. В. Богач и др., ЖЭТФ **140**, 536 (2011).

13. H. D. Landford, W. M. Temmerman, and G. A. Gehring, *J. Phys.: Condens. Matter* **2**, 559 (1990).
14. J. Stankiewicz, M. Evangelisti, Z. Fisk et al., *Phys. Rev. Lett.* **108**, 257201 (2012).
15. Y. Onuki, A. Umezawa, W. K. Kwok et al., *Phys. Rev. B* **40**, 11195 (1989).
16. Д. Ю. Чернышев, М. М. Корсукова, А. Л. Малышев и др., *ФТТ* **36**, 1078 (1994).
17. A. Czopnik, N. Shitsevalova, V. Pluzhnikov et al., *J. Phys.: Condens. Matter* **17**, 5971 (2005).
18. K. Takegahara and T. Kasuya, *Sol. St. Comm.* **53**, 21 (1985).
19. V. A. Trunov, A. L. Malyshev, D. Yu. Chernyshov et al., *J. Phys.: Condens. Matter* **5**, 2479 (1993).
20. M. K. Blomberg, M. J. Merisalo, M. M. Korsukova et al., *J. Alloys Comp.* **217**, 123 (1995).
21. Д. А. Паршин, *ФТТ* **36**, 1809 (1994).
22. Н. Е. Случанко, А. Н. Азаревич, А. В. Богач и др., *Письма в ЖЭТФ* **94**, 685 (2011).
23. M. Loewenhaupt and M. Prager, *Z. Phys. B* **62**, 195 (1986).
24. Н. Е. Случанко, А. В. Богач, В. В. Глушков и др., *ЖЭТФ* **131**, 133 (2007).